Fundamentos y motivación del uso de variables latentes Series de tiempo vía variables latentes Construcción del modelo AR-ARCH Aplicaciones del modelo

Construcción de un modelo AR-ARCH vía variables latentes

Miguel Angel Contreras Ortiz

Facultad de Ciencias, UNAM

Abril 2011

Fundamentos y motivación del uso de variables latentes Series de tiempo vía variables latentes Construcción del modelo AR-ARCH Aplicaciones del modelo Conclusiones

- 1 Fundamentos y motivación del uso de variables latentes
- 2 Series de tiempo vía variables latentes
- 3 Construcción del modelo AR-ARCH
- 4 Aplicaciones del modelo
- Conclusiones

Fundamentos y motivación del uso de variables latentes Series de tiempo vía variables latentes Construcción del modelo AR-ARCH Aplicaciones del modelo

Introducción

Pitt, Chatfield, Walker (2002) y Pitt, Walker (2005)
desarrollaron artículos en los cuales exponen una metodología
para construir series de tiempo estacionarias incorporando
variables auxiliares; lo anterior con el fin de poder fijar una
distribución marginal específica para las observaciones del
proceso en estudio.

Introducción

- Pitt, Chatfield, Walker (2002) y Pitt, Walker (2005)
 desarrollaron artículos en los cuales exponen una metodología
 para construir series de tiempo estacionarias incorporando
 variables auxiliares; lo anterior con el fin de poder fijar una
 distribución marginal específica para las observaciones del
 proceso en estudio.
- Está metodología de incorporar variables auxiliares (ó latentes) en un modelo probabilístico tiene su motivación en técnicas de simulación estocástica usadas en la estadística Bayesiana como es el algoritmo Gibbs sampler.

• Para el caso de una distribución $f(\mathbf{x})$ definida en \mathbb{R}^n , el algoritmo Gibbs sampler permite simular muestras de una cadena de Makov $x^{(1)}, x^{(2)}, \ldots$ con distribución estacionaria $f(\mathbf{x})$.

- Para el caso de una distribución $f(\mathbf{x})$ definida en \mathbb{R}^n , el algoritmo Gibbs sampler permite simular muestras de una cadena de Makov $x^{(1)}, x^{(2)}, \ldots$ con distribución estacionaria $f(\mathbf{x})$.
- Una aplicación de este algoritmo se da cuando tenemos una densidad conjunta dada por $f(x, y_1, ..., y_n)$ y nos interesan características de la densidad marginal f(x).

- Para el caso de una distribución $f(\mathbf{x})$ definida en \mathbb{R}^n , el algoritmo Gibbs sampler permite simular muestras de una cadena de Makov $x^{(1)}, x^{(2)}, \ldots$ con distribución estacionaria $f(\mathbf{x})$.
- Una aplicación de este algoritmo se da cuando tenemos una densidad conjunta dada por $f(x, y_1, ..., y_n)$ y nos interesan características de la densidad marginal f(x).
- En este caso podemos usar el algoritmo Gibbs sampler para simular muestras $(x^{(i)}, y_1^{(i)}, \dots, y_k^{(i)})$, $i = 1, 2, \dots, n$ de $f(x, y_1, \dots, y_k)$; entonces la muestra $\{x^{(i)}\}_{i=1}^n$ corresponderá a la densidad marginal f(x).

- Para el caso de una distribución $f(\mathbf{x})$ definida en \mathbb{R}^n , el algoritmo Gibbs sampler permite simular muestras de una cadena de Makov $x^{(1)}, x^{(2)}, \ldots$ con distribución estacionaria $f(\mathbf{x})$.
- Una aplicación de este algoritmo se da cuando tenemos una densidad conjunta dada por $f(x, y_1, ..., y_n)$ y nos interesan características de la densidad marginal f(x).
- En este caso podemos usar el algoritmo Gibbs sampler para simular muestras $(x^{(i)}, y_1^{(i)}, \ldots, y_k^{(i)})$, $i = 1, 2, \ldots, n$ de $f(x, y_1, \ldots, y_k)$; entonces la muestra $\{x^{(i)}\}_{i=1}^n$ corresponderá a la densidad marginal f(x).
- Consideremos un caso donde la distribución conjunta es $f(X_1, X_2)$.

• Dado el vector inicial $\mathbf{X_0}=(x_{0,1},x_{0,2})$, generamos muestras de $f(X_1,X_2)$ al muestrear $x_{1,1}$ de $f(X_1|X_2=x_{0,2})$ y $x_{1,2}$ de $f(X_2|X_1=x_{1,1})$.

- Dado el vector inicial $\mathbf{X_0}=(x_{0,1},x_{0,2})$, generamos muestras de $f(X_1,X_2)$ al muestrear $x_{1,1}$ de $f(X_1|X_2=x_{0,2})$ y $x_{1,2}$ de $f(X_2|X_1=x_{1,1})$.
- Las entradad del vector $\mathbf{X_t}$ son obtenidas alternadamente generando valores de ambas distribuciones condicionales. Para la t-ésima iteración, dada la muestra $\mathbf{X_t} = (x_{t,1}, x_{t,2})$ hacemos los siguiente:

- Dado el vector inicial $\mathbf{X_0}=(x_{0,1},x_{0,2})$, generamos muestras de $f(X_1,X_2)$ al muestrear $x_{1,1}$ de $f(X_1|X_2=x_{0,2})$ y $x_{1,2}$ de $f(X_2|X_1=x_{1,1})$.
- Las entradad del vector $\mathbf{X_t}$ son obtenidas alternadamente generando valores de ambas distribuciones condicionales. Para la t-ésima iteración, dada la muestra $\mathbf{X_t} = (x_{t,1}, x_{t,2})$ hacemos los siguiente:
- 1. Generamos un valor $x_{t+1,1}$ de $f(X_1|X_2 = x_{t,2})$.

- Dado el vector inicial $\mathbf{X_0}=(x_{0,1},x_{0,2})$, generamos muestras de $f(X_1,X_2)$ al muestrear $x_{1,1}$ de $f(X_1|X_2=x_{0,2})$ y $x_{1,2}$ de $f(X_2|X_1=x_{1,1})$.
- Las entradad del vector $\mathbf{X_t}$ son obtenidas alternadamente generando valores de ambas distribuciones condicionales. Para la t-ésima iteración, dada la muestra $\mathbf{X_t} = (x_{t,1}, x_{t,2})$ hacemos los siguiente:
- 1. Generamos un valor $x_{t+1,1}$ de $f(X_1|X_2 = x_{t,2})$.
- 2. Generamos un valor $x_{t+1,2}$ de $f(X_2|X_1 = x_{t+1,1})$.

- Dado el vector inicial $\mathbf{X_0}=(x_{0,1},x_{0,2})$, generamos muestras de $f(X_1,X_2)$ al muestrear $x_{1,1}$ de $f(X_1|X_2=x_{0,2})$ y $x_{1,2}$ de $f(X_2|X_1=x_{1,1})$.
- Las entradad del vector $\mathbf{X_t}$ son obtenidas alternadamente generando valores de ambas distribuciones condicionales. Para la t-ésima iteración, dada la muestra $\mathbf{X_t} = (x_{t,1}, x_{t,2})$ hacemos los siguiente:
- 1. Generamos un valor $x_{t+1,1}$ de $f(X_1|X_2 = x_{t,2})$.
- 2. Generamos un valor $x_{t+1,2}$ de $f(X_2|X_1 = x_{t+1,1})$.
- 3. La *t*-ésima muestra de la cadena es $X_{t+1} = (x_{t+1,1}, x_{t+1,2})$.

- Dado el vector inicial $\mathbf{X_0}=(x_{0,1},x_{0,2})$, generamos muestras de $f(X_1,X_2)$ al muestrear $x_{1,1}$ de $f(X_1|X_2=x_{0,2})$ y $x_{1,2}$ de $f(X_2|X_1=x_{1,1})$.
- Las entradad del vector $\mathbf{X_t}$ son obtenidas alternadamente generando valores de ambas distribuciones condicionales. Para la t-ésima iteración, dada la muestra $\mathbf{X_t} = (x_{t,1}, x_{t,2})$ hacemos los siguiente:
- 1. Generamos un valor $x_{t+1,1}$ de $f(X_1|X_2 = x_{t,2})$.
- 2. Generamos un valor $x_{t+1,2}$ de $f(X_2|X_1 = x_{t+1,1})$.
- 3. La *t*-ésima muestra de la cadena es $X_{t+1} = (x_{t+1,1}, x_{t+1,2})$.
- Al repetir los pasos 1, 2 y 3 un número n de veces grande, los valores $(x_{m+t,1}, x_{m+t,2})$ serán una muestra de $f(x_1, x_2)$ para t = 1, 2, ... y $m \in \mathbb{Z}, 0 \le m \le n$.

• El método de variables latentes consiste en notar que en ocasiones es posible simular más facilmente y eficientemente de una distribución $f(\mathbf{x}, \lambda|\Theta)$ que de la distribución $f(\mathbf{x}|\Theta)$, donde el nuevo "parámetro" λ puede ser escencialmente cualquier variable aleatoria; a esta variable se le llama variable auxiliar o variable latente.

- El método de variables latentes consiste en notar que en ocasiones es posible simular más facilmente y eficientemente de una distribución $f(\mathbf{x}, \lambda|\Theta)$ que de la distribución $f(\mathbf{x}|\Theta)$, donde el nuevo "parámetro" λ puede ser escencialmente cualquier variable aleatoria; a esta variable se le llama variable auxiliar o variable latente.
- Es evidente que al generar una muestra de la distribución conjunta $f(\mathbf{x}, \lambda | \Theta)$, automáticamente obtenemos una muestra de la distribución marginal $f(\mathbf{x} | \Theta)$ que nos interesaba originalmente.

• Ejemplo: Supongamos que deseamos simular un vector aleatorio $\mathbf{x} \sim \mathcal{N}b(\alpha,p)$. Esta simulación puede realizarse usando el hecho de que si $\lambda \sim \mathcal{G}a(\alpha,p/(1-p))$ y $\mathbf{x}|\lambda \sim \mathcal{P}o(\lambda)$, entonces $\mathbf{x} \sim \mathcal{N}b(\alpha,p)$.

- Ejemplo: Supongamos que deseamos simular un vector aleatorio $\mathbf{x} \sim \mathcal{N}b(\alpha,p)$. Esta simulación puede realizarse usando el hecho de que si $\lambda \sim \mathcal{G}a(\alpha,p/(1-p))$ y $\mathbf{x}|\lambda \sim \mathcal{P}o(\lambda)$, entonces $\mathbf{x} \sim \mathcal{N}b(\alpha,p)$.
- ullet En este ejemplo estamos considerando a λ como variable latente, ya que

$$\int_{\Lambda} f(\mathbf{x}|\lambda) \times f(\lambda) d\lambda = \int_{\Lambda} f(\mathbf{x},\lambda) = f(\mathbf{x}) d\lambda.$$

- Ejemplo: Supongamos que deseamos simular un vector aleatorio $\mathbf{x} \sim \mathcal{N}b(\alpha,p)$. Esta simulación puede realizarse usando el hecho de que si $\lambda \sim \mathcal{G}a(\alpha,p/(1-p))$ y $\mathbf{x}|\lambda \sim \mathcal{P}o(\lambda)$, entonces $\mathbf{x} \sim \mathcal{N}b(\alpha,p)$.
- ullet En este ejemplo estamos considerando a λ como variable latente, ya que

$$\int_{\Lambda} f(\mathbf{x}|\lambda) \times f(\lambda) d\lambda = \int_{\Lambda} f(\mathbf{x},\lambda) = f(\mathbf{x}) d\lambda.$$

• Mas aún, si se conocieran las distribuciones condicionales completas, es decir $f(\mathbf{x}|\lambda)$ y $f(\lambda|\mathbf{x})$, se puede realizar la simulación usando el algoritmo Gibbs Sampler.

• En el enfoque Bayesiano de la Estadística, la incertidumbre presente en un modelo dado, $p(\mathbf{x}|\theta)$, es representado a través de una distribución inicial o a priori $p(\theta)$ sobre los posibles valores del parámetro desconocido que define al modelo.

- En el enfoque Bayesiano de la Estadística, la incertidumbre presente en un modelo dado, $p(\mathbf{x}|\theta)$, es representado a través de una distribución inicial o a priori $p(\theta)$ sobre los posibles valores del parámetro desconocido que define al modelo.
- El Teorema de Bayes,

$$p(\theta|\mathbf{x}) = \frac{p(\mathbf{x}|\theta)p(\theta)}{p(\mathbf{x})}$$

permite entonces incorporar la información contenida en un conjunto de datos $\mathbf{x} = (x_1, \dots, x_n)$, produciendo una descripción conjunta de la incertidumbre sobre los valores de los parámetros del modelo a través de la distribución final o posterior $p(\theta|\mathbf{x})$.

• Sin pérdida de generalidad, podemos escribir que

$$p(\theta|\mathbf{x}) \propto p(\mathbf{x}|\theta)p(\theta) = L(\mathbf{x}|\theta)p(\theta)$$

donde " \propto " significa "proporcional a" o bien "igual salvo por un factor que no depende de θ ".

• Sin pérdida de generalidad, podemos escribir que

$$p(\theta|\mathbf{x}) \propto p(\mathbf{x}|\theta)p(\theta) = L(\mathbf{x}|\theta)p(\theta)$$

donde " \propto " significa "proporcional a" o bien "igual salvo por un factor que no depende de θ ".

• Si $p(\theta)$ es una constante entonces

$$p(\theta|\mathbf{x}) \propto L(\mathbf{x}|\theta)$$

y como consecuencia al encontrar el estimador máximo verosímil, estaríamos encontrando la moda de la distribución final.

 El algoritmo EM (Expectation-Maximization) es un procedimiento iterativo para calcular la moda de la distribución final o los estimadores máximo verosimiles cuando se tienen datos incompletos.

- El algoritmo EM (Expectation-Maximization) es un procedimiento iterativo para calcular la moda de la distribución final o los estimadores máximo verosimiles cuando se tienen datos incompletos.
- En la formulación usual del algoritmo EM, el vector "completo" de datos x es conformado tanto por "datos observados" y como por "datos faltantes" w, es decir que los elementos de w se pueden considerar como variables latentes.

- El algoritmo EM (Expectation-Maximization) es un procedimiento iterativo para calcular la moda de la distribución final o los estimadores máximo verosimiles cuando se tienen datos incompletos.
- En la formulación usual del algoritmo EM, el vector "completo" de datos x es conformado tanto por "datos observados" y como por "datos faltantes" w, es decir que los elementos de w se pueden considerar como variables latentes.
- El algoritmo EM provee un procedimiento iterativo para calcular los estimadores de máxima verosimilitud basado sólo en los datos observados.

 Cada iteración del algoritmo EM consiste de dos pasos: el paso E (paso de la esperanza) y el paso M (paso de la maximización).

- Cada iteración del algoritmo EM consiste de dos pasos: el paso E (paso de la esperanza) y el paso M (paso de la maximización).
- Supóngase que $\theta^{(k)}$ denota el valor estimado después de k iteraciones del algoritmo para la moda de la distribución final de nuestro interés $p(\theta|\mathbf{y})$ y sea $p(\theta|\mathbf{y},\mathbf{w})$ la distribución final aumentada.

- Cada iteración del algoritmo EM consiste de dos pasos: el paso E (paso de la esperanza) y el paso M (paso de la maximización).
- Supóngase que $\theta^{(k)}$ denota el valor estimado después de k iteraciones del algoritmo para la moda de la distribución final de nuestro interés $p(\theta|\mathbf{y})$ y sea $p(\theta|\mathbf{y},\mathbf{w})$ la distribución final aumentada.
- Por último definamos a $p(\mathbf{w}|\mathbf{y}, \theta^{(k)})$ como la distribución condicional de los datos latentes \mathbf{w} dado el valor k-ésimo de la moda de la distribución final y dados los datos observados; entonces los pasos \mathbf{E} y \mathbf{M} en la (k+1)-ésima iteración son:

• paso – E. Calcular $Q(\theta, \theta^{(k)}) = \mathbb{E}[\log p(\theta|\mathbf{y}, \mathbf{w})]$ con respecto a $p(\mathbf{w}|\mathbf{y}, \theta^{(k)})$, es decir,

$$Q(\theta, \theta^{(k)}) = \int_{W} \log p(\theta|\mathbf{y}, \mathbf{w}) p(\mathbf{w}|\mathbf{y}, \theta^{(k)}) d\mathbf{w}$$

у

• paso – E. Calcular $Q(\theta, \theta^{(k)}) = \mathbb{E}[\log p(\theta|\mathbf{y}, \mathbf{w})]$ con respecto a $p(\mathbf{w}|\mathbf{y}, \theta^{(k)})$, es decir,

$$Q(\theta, \theta^{(k)}) = \int_{W} \log p(\theta|\mathbf{y}, \mathbf{w}) p(\mathbf{w}|\mathbf{y}, \theta^{(k)}) d\mathbf{w}$$

У

• paso – M. Maximizar $Q(\theta, \theta^{(k)})$ con respecto a θ . Se toma

$$\theta^{(k+1)} = \arg \max_{\theta} Q(\theta, \theta^{(k)}).$$

• paso – E. Calcular $Q(\theta, \theta^{(k)}) = \mathbb{E}[\log p(\theta|\mathbf{y}, \mathbf{w})]$ con respecto a $p(\mathbf{w}|\mathbf{y}, \theta^{(k)})$, es decir,

$$Q(\theta, \theta^{(k)}) = \int_{W} \log p(\theta|\mathbf{y}, \mathbf{w}) p(\mathbf{w}|\mathbf{y}, \theta^{(k)}) d\mathbf{w}$$

У

• paso – M. Maximizar $Q(\theta, \theta^{(k)})$ con respecto a θ . Se toma

$$heta^{(k+1)} = \arg \max_{\theta} Q(\theta, \theta^{(k)}).$$

 Después de ésto regresamos al paso-E. El algoritmo se itera hasta que

$$|Q(\theta^{(k+1)}, \theta^{(k)}) - Q(\theta^{(k)}, \theta^{(k)})|$$
 o bien $||\theta^{(k+1)} - \theta^{(k)}||$ sea suficientemente pequeño.

Fundamentos y motivación del uso de variables latentes

Series de tiempo vía variables latentes

Construcción del modelo AR-ARCH

Aplicaciones del modelo

Conclusiones

Series de tiempo

 Los modelos de series de tiempo proporcionan un método sofisticado para describir y predecir series históricas ya que se basan en la idea de que el conjunto de datos en estudio ha sido generado por un proceso estocástico, con una estructura que puede caracterizarse y describirse.

Series de tiempo

- Los modelos de series de tiempo proporcionan un método sofisticado para describir y predecir series históricas ya que se basan en la idea de que el conjunto de datos en estudio ha sido generado por un proceso estocástico, con una estructura que puede caracterizarse y describirse.
- Hablando en términos matemáticos, una serie de tiempo puede entenderse como una realización del proceso estocástico $\{X_t: t \in T\}$, es decir, para $w \in \Omega$

$$x_{t_1} = x_{t_1}(w)$$
, $x_{t_2} = x_{t_2}(w)$, . . .

y las observaciones $\{x_t : t \in T\}$ son la serie de tiempo.



Series de tiempo estacionarias

• Un proceso $\{X_t\}_{t\in T}$ se llama completamente estacionario si para todo $n\geq 1$, para cualesquiera t_1,t_2,\ldots,t_n elementos de T y para todo τ tal que $t_1+\tau,t_2+\tau,\ldots,t_n+\tau\in T$, la función de distribución conjunta del vector (X_{t_1},\ldots,X_{t_n}) es igual a la distribución conjunta del vector $(X_{t_1+\tau},X_{t_2+\tau},\ldots,X_{t_n+\tau})$

$$F_{t_1,...,t_n}(a_1,...,a_n) = \mathbb{P}(X_{t_1} \leq a_1;...; X_{t_n} \leq a_n) = \mathbb{P}(X_{t_1+\tau} \leq a_1;...; X_{t_n+\tau} \leq a_n) = F_{t_1+\tau,...,t_n+\tau}(a_1,...,a_n).$$

Series de tiempo estacionarias

• Un proceso $\{X_t\}_{t\in T}$ se llama completamente estacionario si para todo $n\geq 1$, para cualesquiera t_1,t_2,\ldots,t_n elementos de T y para todo τ tal que $t_1+\tau,t_2+\tau,\ldots,t_n+\tau\in T$, la función de distribución conjunta del vector (X_{t_1},\ldots,X_{t_n}) es igual a la distribución conjunta del vector $(X_{t_1+\tau},X_{t_2+\tau},\ldots,X_{t_n+\tau})$

$$F_{t_1,...,t_n}(a_1,...,a_n) = \mathbb{P}(X_{t_1} \leq a_1;...; X_{t_n} \leq a_n) = \mathbb{P}(X_{t_1+\tau} \leq a_1;...; X_{t_n+\tau} \leq a_n) = F_{t_1+\tau,...,t_n+\tau}(a_1,...,a_n).$$

 En otras palabras, toda la estructura probabilística de un proceso completamente estacionario no cambia al correr en el tiempo

Construcción de un modelo AR-ARCH vía variables latentes

Series de tiempo estacionarias

• Un proceso de 2^o orden $\{X_t\}_{t\in T}$ se llama débilmente estacionario o estacionario de 2^o orden si para cada $n\in\{1,2,\ldots\}$, para cualesquiera $t_1,t_2,\ldots,t_n\in T$ y para todo τ tal que $t_1+\tau,\ldots,t_n+\tau\in T$, todos los momentos de orden 1 y 2 del vector (X_{t_1},\ldots,X_{t_n}) son iguales a los correspondientes momentos de orden 1 y 2 del vector $(X_{t_1+\tau},X_{t_2+\tau},\ldots,X_{t_n+\tau})$.

Series de tiempo estacionarias

- Un proceso de 2^o orden $\{X_t\}_{t\in T}$ se llama débilmente estacionario o estacionario de 2^o orden si para cada $n\in\{1,2,\ldots\}$, para cualesquiera $t_1,t_2,\ldots,t_n\in T$ y para todo τ tal que $t_1+\tau,\ldots,t_n+\tau\in T$, todos los momentos de orden 1 y 2 del vector (X_{t_1},\ldots,X_{t_n}) son iguales a los correspondientes momentos de orden 1 y 2 del vector $(X_{t_1+\tau},X_{t_2+\tau},\ldots,X_{t_n+\tau})$.
- Algunas implicaciones de esta definición son

$$\mathbb{E}(X_t) = \mu, \quad \forall t$$

$$Cov(X_t, X_{t+\tau}) = \gamma_{\tau}, \quad \forall t.$$



Series de tiempo estacionarias

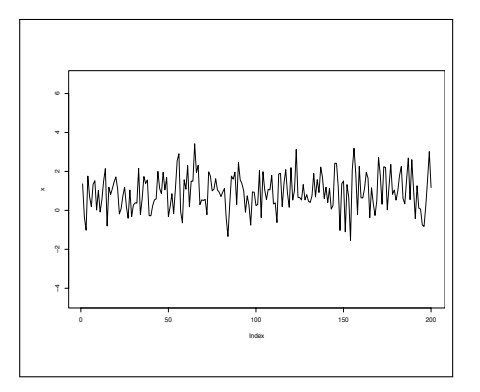
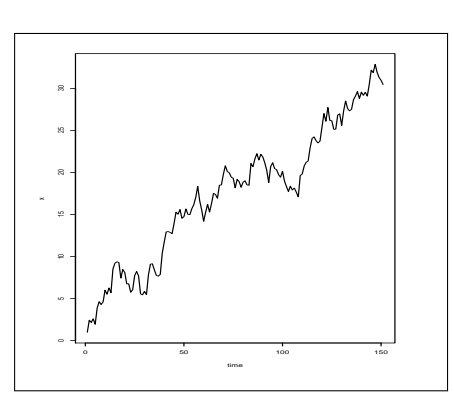


Figura: (a) Proceso estacionario



(b) Proceso no-estacionario

• Diremos que el proceso a tiempo discreto X_t es tipo autorregresivo y promedios móviles de orden p y q, ARMA(p,q), si es un proceso estacionario y para cada $t \in \{0,\pm 1,\pm 2,\ldots\}$ se tiene

$$X_{t} - \phi_{1}X_{t-1} - \dots - \phi_{p}X_{t-p} = \varepsilon_{t} + \theta_{1}\varepsilon_{t-1} + \dots + \theta_{q}\varepsilon_{t}, (1)$$

donde $\{\varepsilon_t\}$ es una sucesión de v.a's no-correlacionadas, tal que $\forall t, \ \varepsilon_t \sim N(0, \sigma_{\varepsilon})$.

• La ecuación (1) se puede escribir usando la notación de operadores de retraso $BX_t = X_{t-1}$ como

$$\phi_p(B)X_t = \theta_q(B)\varepsilon_t$$
; $t \in \{0, \pm 1, \pm 2, \ldots\},$

con

$$\phi_p(z) = 1 - \phi_1 z - \cdots - \phi_p z^p$$
, $z \in \mathbb{C}$,

$$\theta_q(z) = 1 + \theta_1 z + \dots + \theta_q z^q$$
, $z \in \mathbb{C}$.

• La ecuación (1) se puede escribir usando la notación de operadores de retraso $BX_t = X_{t-1}$ como

$$\phi_p(B)X_t = \theta_q(B)\varepsilon_t$$
; $t \in \{0, \pm 1, \pm 2, \ldots\},$

con

$$\phi_{p}(z) = 1 - \phi_{1}z - \cdots - \phi_{p}z^{p}, \ z \in \mathbb{C},$$

$$\theta_q(z) = 1 + \theta_1 z + \dots + \theta_q z^q$$
, $z \in \mathbb{C}$.

• (a) Si $\phi_p(z) \equiv 1$ entonces $X_t = \theta(B)\varepsilon_t$ se reduce a un modelo MA(q).

• La ecuación (1) se puede escribir usando la notación de operadores de retraso $BX_t = X_{t-1}$ como

$$\phi_p(B)X_t = \theta_q(B)\varepsilon_t \; ; \; t \in \{0, \pm 1, \pm 2, \ldots\},$$

con

$$\phi_p(z) = 1 - \phi_1 z - \cdots - \phi_p z^p$$
, $z \in \mathbb{C}$,

$$\theta_q(z) = 1 + \theta_1 z + \dots + \theta_q z^q$$
, $z \in \mathbb{C}$.

- (a) Si $\phi_p(z) \equiv 1$ entonces $X_t = \theta(B)\varepsilon_t$ se reduce a un modelo MA(q).
- **(b)** Si $\theta_q(z) \equiv 1$ entonces $\phi(B)X_t = \varepsilon_t$ se reduce un modelo AR(p).

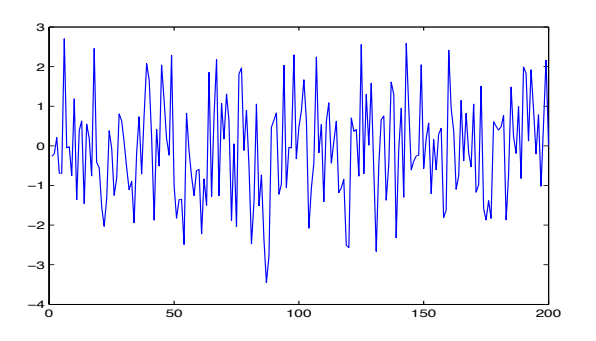


Figura: Ejemplo de un proceso ARMA(1,1).

Modelos ARCH(q)

• Un modelo autorregresivo condicionalmente heterocedástico (ARCH) con orden $q(\geq 1)$ es definido como

$$Y_t = \sigma_t \eta_t$$
, donde $\sigma_t^2 = \alpha_0 + \alpha_1 Y_{t-1}^2 + \ldots + \alpha_q Y_{t-q}^2$,

para constantes $\alpha_0 \geq 0$, $\alpha_j \geq 0$ y $\{\eta_t\}_t$ v.a.'s i.i.d. con alguna distribución paramétrica \mathcal{D}_{ϑ} , con media 0 y varianza es 1 (comúnmente se usa Normal o t-Student).

Modelos ARCH(q)

ullet Un modelo autorregresivo condicionalmente heterocedástico (ARCH) con orden $q(\geq 1)$ es definido como

$$Y_t = \sigma_t \eta_t$$
, donde $\sigma_t^2 = \alpha_0 + \alpha_1 Y_{t-1}^2 + \ldots + \alpha_q Y_{t-q}^2$,

para constantes $\alpha_0 \geq 0$, $\alpha_j \geq 0$ y $\{\eta_t\}_t$ v.a.'s i.i.d. con alguna distribución paramétrica \mathcal{D}_{ϑ} , con media 0 y varianza es 1 (comúnmente se usa Normal o t-Student).

 El modelo ARCH fue introducido por Engle (1982) para modelar y predecir la varianza para las tasas de inflación de Reino Unido. Desde entonces, ha sido ampliamente usado para modelar la volatilidad de series de tiempo económicas y financieras.

Modelos ARCH(q)

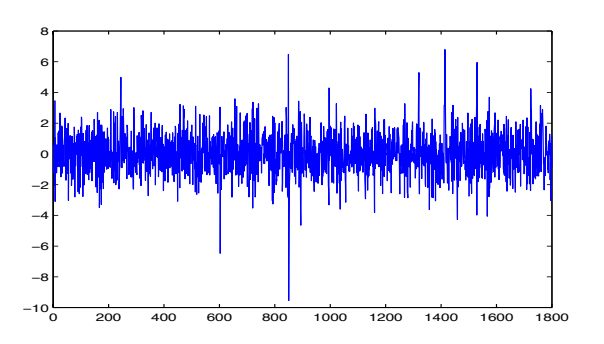


Figura: Ejemplo de un proceso ARCH(1).

Modelo ARCH(1)

 Dentro de este tipo de modelos el ARCH(1) es el más utilizado para modelar la voatilidad de series financieras

$$\sigma_t^2(Y_t|Y_{t-1}) = \alpha_0 + \alpha_1 Y_{t-1}^2,$$

donde para una serie de precios S_1, S_2, \ldots se toma $Y_t = \log(S_t/S_{t-1})$ (conocidos en el ámbito financiero como *log-retornos* o simplemente *retornos*).

Modelo GARCH(q, p)

 El modelo ARCH ha sido extendido en varias direcciones. La más importante de ésas es la extensión para incluir un componente autorregresivo en la varianza condicional; esta extensión se conoce como modelo ARCH generalizado (GARCH) debido a Bollerslev (1986) y Taylor (1986).

Modelo GARCH(q, p)

- El modelo ARCH ha sido extendido en varias direcciones. La más importante de ésas es la extensión para incluir un componente autorregresivo en la varianza condicional; esta extensión se conoce como modelo ARCH generalizado (GARCH) debido a Bollerslev (1986) y Taylor (1986).
- El proceso $\{Y_t\}_t$ sigue un proceso $\mathsf{GARCH}(p,q)$ si

$$Y_t = \sigma_t \eta_t, \quad \sigma_t^2 = \alpha_0 + \sum_{i=1}^q \alpha_i Y_{t-i}^2 + \sum_{j=1}^p \beta_j \sigma_{t-j}^2,$$
 (2)

donde nuevamente $\{\eta_t\}$ es una sucesión de v.a.'s i.i.d. con media 0 y varianza unitaria, $\alpha_0 > 0$, $\alpha_i \ge 0$, $\beta_j \ge 0$, y $\sum_{i=1}^{\max(p,q)} (\alpha_i + \beta_i) < 1$.

Modelo GARCH(q, p)

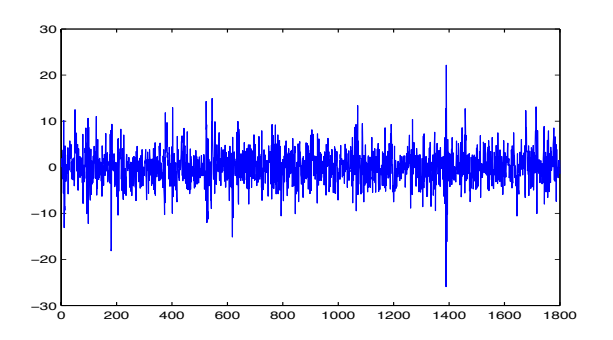


Figura: Realización de un proceso GARCH(1,1).

Modelo ARMA(m, n)-GARCH(q, p)

 Una extensión reciente a los modelos ARCH y GARCH ha sido el modelo ARMA-GARCH, el cual contempla un proceso de series de tiempo tanto para la media como para el error, es decir

Modelo ARMA(m, n)-GARCH(q, p)

 Una extensión reciente a los modelos ARCH y GARCH ha sido el modelo ARMA-GARCH, el cual contempla un proceso de series de tiempo tanto para la media como para el error, es decir

$$X_{t} = \sum_{k=1}^{m} \phi_{k} X_{t-k} + Y_{t} + \sum_{j=1}^{n} \theta_{j} Y_{t-j},$$

Modelo ARMA(m, n)-GARCH(q, p)

 Una extensión reciente a los modelos ARCH y GARCH ha sido el modelo ARMA-GARCH, el cual contempla un proceso de series de tiempo tanto para la media como para el error, es decir

$$X_{t} = \sum_{k=1}^{m} \phi_{k} X_{t-k} + Y_{t} + \sum_{j=1}^{n} \theta_{j} Y_{t-j},$$

$$Y_t = \sigma_t \eta_t, \quad \sigma_t^2 = \alpha_0 + \sum_{i=1}^q \alpha_i Y_{t-i}^2 + \sum_{j=1}^p \beta_j \sigma_{t-j}^2,$$

donde η_t es i.i.d. de acuerdo a una cierta distribución con media cero y varianza unitaria.

• Consideremos una sucesión de variables aleatorias

$$Y_1 \rightarrow W_1 \rightarrow Y_2 \rightarrow W_2 \rightarrow \cdots \rightarrow W_{n-1} \rightarrow Y_n.$$
 (3)

• Consideremos una sucesión de variables aleatorias

$$Y_1 \rightarrow W_1 \rightarrow Y_2 \rightarrow W_2 \rightarrow \cdots \rightarrow W_{n-1} \rightarrow Y_n.$$
 (3)

• El proceso (3) evoluciona como sigue: Comenzamos con una variable aleatoria Y_1 con densidad $f_{Y_t}(y)$. Condicionalmente a $Y_t = y_1$ la variable W_1 tiene densidad $f_{W_t|Y_t}(w|y_1)$, condicional a $W_1 = w_1$ la variable aleatoria Y_2 tiene densidad $f_{Y_{t+1}|W_t}(y|w_1)(=f_{Y_t|W_t}(y|w_1))$ y proseguimos en la misma forma para $t=3,4,5,\ldots$

Consideremos una sucesión de variables aleatorias

$$Y_1 \rightarrow W_1 \rightarrow Y_2 \rightarrow W_2 \rightarrow \cdots \rightarrow W_{n-1} \rightarrow Y_n.$$
 (3)

- El proceso (3) evoluciona como sigue: Comenzamos con una variable aleatoria Y_1 con densidad $f_{Y_t}(y)$. Condicionalmente a $Y_t = y_1$ la variable W_1 tiene densidad $f_{W_t|Y_t}(w|y_1)$, condicional a $W_1 = w_1$ la variable aleatoria Y_2 tiene densidad $f_{Y_{t+1}|W_t}(y|w_1)(=f_{Y_t|W_t}(y|w_1))$ y proseguimos en la misma forma para $t=3,4,5,\ldots$
- De acuerdo a la estructura en que evoluciona el proceso hay una clara conexión con el Gibbs sampler.

• La densidad $f_{Y_t|W_t}(y|w)$ es conocida y no cambia con t. Para que ésto suceda especificamos las densidades $f_{Y_t}(y)(=f_Y(y))$ y $f_{W_t|Y_t}(w|y)(=f_{W|Y}(w|y))$.

- La densidad $f_{Y_t|W_t}(y|w)$ es conocida y no cambia con t. Para que ésto suceda especificamos las densidades $f_{Y_t}(y) (= f_Y(y))$ y $f_{W_t|Y_t}(w|y) (= f_{W|Y}(w|y))$.
- Pitt, Chatfield, Walker (2002) y Pitt, Walker (2005) proponen modelos de series de tiempo usando el esquema (3) donde el proceso $\{Y_1, Y_2, \ldots\}$ corresponde a las observaciones de algún fenómeno en la naturaleza y el proceso $\{W_1, W_2, \ldots\}$ corresponde a variables latentes que se introducen con el fin de especificar la dependencia estocástica entre Y_{t+1} y Y_t .

ullet Dadas las densidades $f_{W_t|Y_t}$ y $f_{Y_{t+1}|W_t}$ tenemos que

$$f_{Y_{t+1}|Y_t}(y|y_t) = \int_{-\infty}^{\infty} f_{Y_{t+1}|W_t}(y|w) f_{W_t|Y_t}(w|y_t) dw.$$
 (4)

• Dadas las densidades $f_{W_t|Y_t}$ y $f_{Y_{t+1}|W_t}$ tenemos que

$$f_{Y_{t+1}|Y_t}(y|y_t) = \int_{-\infty}^{\infty} f_{Y_{t+1}|W_t}(y|w) f_{W_t|Y_t}(w|y_t) dw.$$
 (4)

• Por construcción, el proceso $\{Y_1, W_1, Y_2, W_2, \ldots\}$ tiene la propiedad de Markov, ya que la densidad de W_t condicional al pasado del proceso sólo depende de Y_t (la observación inmediata anterior), asimismo la densidad de Y_{t+1} condicional al pasado sólo depende de W_t .

Modelo ARCH vía variables latentes

• Para construir un modelo tipo ARCH estrictamente estacionario, Pitt y Walker (2005) proponen un esquema como en (3) donde $f_{W_t|Y_t}(w|y_t) = \mathcal{I}g(w|\frac{\nu+1}{2}, \frac{\nu\beta^2+y_t^2}{2})$ y $f_{Y_t}(y) = \mathcal{S}t(y|0, \frac{1}{\beta^2}, \nu)$.

Modelo ARCH vía variables latentes

- Para construir un modelo tipo ARCH estrictamente estacionario, Pitt y Walker (2005) proponen un esquema como en (3) donde $f_{W_t|Y_t}(w|y_t) = \mathcal{I}g(w|\frac{\nu+1}{2}, \frac{\nu\beta^2+y_t^2}{2})$ y $f_{Y_t}(y) = \mathcal{S}t(y|0, \frac{1}{\beta^2}, \nu)$.
- Dadas las distribuciones que se tienen para Y_t y $W_t|Y_t$, $W_t \sim \mathcal{I}g(\frac{\nu}{2},\frac{\nu\beta^2}{2})$ y $Y_t|W_t \sim N(0,w)$. Luego la transición para el proceso sería $Y_{t+1}|Y_t \sim \mathcal{S}t(y_{t+1}|0,\lambda=\frac{\nu+1}{\nu\beta^2+(\gamma_t)^2},\alpha=\nu+1)$.

Modelo ARCH vía variables latentes

- Para construir un modelo tipo ARCH estrictamente estacionario, Pitt y Walker (2005) proponen un esquema como en (3) donde $f_{W_t|Y_t}(w|y_t) = \mathcal{I}g(w|\frac{\nu+1}{2}, \frac{\nu\beta^2+y_t^2}{2})$ y $f_{Y_t}(y) = \mathcal{S}t(y|0, \frac{1}{\beta^2}, \nu)$.
- Dadas las distribuciones que se tienen para Y_t y $W_t|Y_t$, $W_t \sim \mathcal{I}g(\frac{\nu}{2},\frac{\nu\beta^2}{2})$ y $Y_t|W_t \sim N(0,w)$. Luego la transición para el proceso sería $Y_{t+1}|Y_t \sim \mathcal{S}t(y_{t+1}|0,\lambda=\frac{\nu+1}{\nu\beta^2+(y_t)^2},\alpha=\nu+1)$.
- La varianza condicional tiene la siguiente forma

$$\sigma^{2}(y_{t}|y_{t-1}) = \frac{\nu\beta^{2} + y_{t-1}^{2}}{\nu - 1} = \alpha_{0} + \alpha_{1}y_{t-1}^{2}.$$



• El proceso $\{Y_t\}_t$ jugará el papel de las innovaciones o ruido en un modelo AR(1) para las observaciones $\{X_t\}_t$.

- El proceso $\{Y_t\}_t$ jugará el papel de las innovaciones o ruido en un modelo AR(1) para las observaciones $\{X_t\}_t$.
- Consideremos la ecuación que define a un proceso AR(1)

$$X_t = \phi X_{t-1} + Y_t, \tag{5}$$

donde $|\phi| < 1$ para garantizar que el proceso sea estacionario.

 Podemos pensar en (5) como una transformación entre dos vectores aleatorios

$$T(Y_1,\ldots,Y_n)=(X_1,\ldots,X_n),$$

donde dado un valor inicial constante $X_0 = x_0$ para $\{X_t\}_t$, cada entrada de (X_1, \ldots, X_n) está definida por (5).

 Podemos pensar en (5) como una transformación entre dos vectores aleatorios

$$T(Y_1,\ldots,Y_n)=(X_1,\ldots,X_n),$$

donde dado un valor inicial constante $X_0 = x_0$ para $\{X_t\}_t$, cada entrada de (X_1, \ldots, X_n) está definida por (5).

La transformación inversa

$$T^{-1}(X_1,\ldots,X_n)=(Y_1,\ldots,Y_n)$$

queda definida por

$$Y_t = X_t - \phi X_{t-1}.$$



• Así entonces la función de verosimilitud para las observaciones x_1, \ldots, x_n del proceso $\{X_n\}_n$ está dada por

$$f_{X_1,...,X_n}(x_1,...,x_n) = f_{Y_1,...,Y_n}(x_1 - \phi x_0,...,x_n - \phi x_{n-1}) \times |J_{T^{-1}}|$$

$$= f_{Y_1}(x_1 - \phi x_0) \times \prod_{t=1}^{n-1} f_{Y_{t+1}|Y_t}(x_{t+1} - \phi x_t|x_t - \phi x_{t-1}),$$

• Así entonces la función de verosimilitud para las observaciones x_1, \ldots, x_n del proceso $\{X_n\}_n$ está dada por

$$f_{X_1,...,X_n}(x_1,...,x_n) = f_{Y_1,...,Y_n}(x_1 - \phi x_0,...,x_n - \phi x_{n-1}) \times |J_{T^{-1}}|$$

$$= f_{Y_1}(x_1 - \phi x_0) \times \prod_{t=1}^{n-1} f_{Y_{t+1}|Y_t}(x_{t+1} - \phi x_t|x_t - \phi x_{t-1}),$$

• donde $f_{Y_1}(x_1 - \phi x_0) = \frac{\Gamma(\frac{\nu+1}{2})}{\Gamma(\frac{\nu}{2})} \left(\frac{1}{\nu\beta^2\pi}\right)^{\frac{1}{2}} \frac{1}{[1 + \frac{(x_1 - \phi x_0)^2}{\nu\beta^2}]^{\frac{\nu+1}{2}}}$ la cual es una distribución $\mathcal{S}t(x_1|\phi x_0,\lambda,\nu)$ con $\lambda = \frac{1}{\beta^2}$.

• Por otra parte, $f_{Y_{t+1}|Y_t}(x_{t+1} - \phi x_t|x_t - \phi x_{t-1})$

$$= \frac{\Gamma(\frac{\nu+2}{2})}{\Gamma(\frac{\nu+1}{2})} \left(\frac{1}{(\nu\beta^2 + (x_t - \phi x_{t-1})^2)\pi}\right)^{\frac{1}{2}} \frac{1}{[1 + \frac{(x_{t+1} - \phi x_t)^2}{\nu\beta^2 + (x_t - \phi x_{t-1})^2}]^{\frac{\nu+2}{2}}},$$

es decir que la densidad de transición para Y es una $\mathcal{S}t(x_{t+1}|\phi x_t,\lambda,\nu+1)$ con $\lambda=\frac{\nu+1}{\nu\beta^2+(x_t-\phi x_{t-1})^2}$.

ullet Por otra parte, $f_{Y_{t+1}|Y_t}(x_{t+1}-\phi x_t|x_t-\phi x_{t-1})$

$$= \frac{\Gamma(\frac{\nu+2}{2})}{\Gamma(\frac{\nu+1}{2})} \left(\frac{1}{(\nu\beta^2 + (x_t - \phi x_{t-1})^2)\pi}\right)^{\frac{1}{2}} \frac{1}{[1 + \frac{(x_{t+1} - \phi x_t)^2}{\nu\beta^2 + (x_t - \phi x_{t-1})^2}]^{\frac{\nu+2}{2}}},$$

es decir que la densidad de transición para Y es una $\mathcal{S}t(x_{t+1}|\phi x_t,\lambda,\nu+1)$ con $\lambda=\frac{\nu+1}{\nu\beta^2+(x_t-\phi x_{t-1})^2}$.

 Usando los supuestos del artículo de Pitt y Walker (2005), partimos del hecho de que

$$f_{W_t|Y_t}(w|x_t - \phi x_{t-1}) = \mathcal{I}g(\frac{\nu+1}{2}, \frac{\nu\beta^2 + (x_t - \phi x_{t-1})^2}{2}) \text{ y}$$

$$f_{Y_t}(x_t - \phi x_{t-1}) = \mathcal{S}t(\mu = \phi x_{t-1}, \lambda = \frac{1}{\beta^2}, \nu).$$



 Como se dijo anteriormente, el objetivo del algoritmo EM es encontrar la moda de la distribución final y, recordando que si la distribución final es proporcional a la verosimilitud, al encontrar su moda estaríamos encontrando el estimador o los estimadores máximo verosímiles.

- Como se dijo anteriormente, el objetivo del algoritmo EM es encontrar la moda de la distribución final y, recordando que si la distribución final es proporcional a la verosimilitud, al encontrar su moda estaríamos encontrando el estimador o los estimadores máximo verosímiles.
- La expresión de la verosimilitud aumentada considerando el conjunto de datos completos sería la siguiente

$$f_{X_{1},...,X_{n},W_{1},...,W_{n-1}}|\nu,\beta,\phi(x_{1},...,x_{n},w_{1},...,w_{n-1})$$

$$=\prod_{t=1}^{n-1}\left\{f_{Y_{t+1}|W_{t}}(x_{t+1}-\phi x_{t}|w_{t})\times f_{W_{t}|Y_{t}}(w_{t}|x_{t}-\phi x_{t-1})\times f_{Y_{1}}(x_{1}-\phi x_{0})\right\}$$

• Consideremos $\pi(\nu, \beta, \phi) \propto 1$, así

$$\pi(\nu, \beta, \phi | x_1, \dots, x_n, w_1, \dots, w_{n-1})$$

$$\propto f_{X_1, \dots, X_n, W_1, \dots, W_{n-1}} | \nu, \beta, \phi \times \pi(\nu, \beta, \phi)$$

$$= f_{X_1, \dots, X_n, W_1, \dots, W_{n-1}} | \nu, \beta, \phi.$$

• Consideremos $\pi(
u, eta, \phi) \propto 1$, así

$$\pi(\nu, \beta, \phi | x_1, \dots, x_n, w_1, \dots, w_{n-1})$$

$$\propto f_{X_1, \dots, X_n, W_1, \dots, W_{n-1}} | \nu, \beta, \phi \times \pi(\nu, \beta, \phi)$$

$$= f_{X_1, \dots, X_n, W_1, \dots, W_{n-1}} | \nu, \beta, \phi.$$

 \bullet Se pretende usar el algoritmo EM para encontrar a $\widehat{\nu},\widehat{\beta}$ y $\widehat{\phi}.$

• Consideremos $\pi(\nu, \beta, \phi) \propto 1$, así

$$\pi(\nu, \beta, \phi | x_1, \dots, x_n, w_1, \dots, w_{n-1})$$

$$\propto f_{X_1, \dots, X_n, W_1, \dots, W_{n-1}} | \nu, \beta, \phi \times \pi(\nu, \beta, \phi)$$

$$= f_{X_1, \dots, X_n, W_1, \dots, W_{n-1}} | \nu, \beta, \phi.$$

- \bullet Se pretende usar el algoritmo EM para encontrar a $\widehat{\nu},\widehat{\beta}$ y $\widehat{\phi}.$
- La distribución condicional de las variables latentes dados los datos observados y los parámetros será obtener:

$$\frac{f_{X_{1},...,X_{n},W_{1},...,W_{n-1}|\nu,\beta,\phi}}{f_{X_{1},...,X_{n}|\nu,\beta,\phi}} = \frac{f_{X_{1},...,X_{n}|\nu,\beta,\phi}}{f_{Y_{t+1}|W_{t}}(x_{t+1}-\phi x_{t}|w_{t})f_{W_{t}|Y_{t}}(w_{t}|x_{t}-\phi x_{t-1})} \frac{f_{Y_{t+1}|W_{t}}(x_{t+1}-\phi x_{t}|w_{t})f_{W_{t}|Y_{t}}(w_{t}|x_{t}-\phi x_{t-1})}{\prod_{t=1}^{n-1} f_{Y_{t+1}|Y_{t}}(x_{t+1}-\phi x_{t}|x_{t}-\phi x_{t-1})}$$

$$\begin{split} \bullet \quad & \frac{f_{X_1, \dots, X_n, W_1, \dots, W_{n-1} | \nu, \beta, \phi}}{f_{X_1, \dots, X_n | \nu, \beta, \phi}} = \\ & \frac{\prod_{t=1}^{n-1} \left\{ f_{Y_{t+1} | W_t}(x_{t+1} - \phi x_t | w_t) f_{W_t | Y_t}(w_t | x_t - \phi x_{t-1}) \right\}}{\prod_{t=1}^{n-1} f_{Y_{t+1} | Y_t}(x_{t+1} - \phi x_t | x_t - \phi x_{t-1})} \\ \bullet \quad & f_{W_1, \dots, W_{n-1} | X_1, \dots, X_n, \nu, \beta, \phi} = \\ & \prod_{t=1}^{n-1} \left\{ \frac{f_{Y_{t+1} | W_t}(x_{t+1} - \phi x_t | w_t) f_{W_t | Y_t}(w_t | x_t - \phi x_{t-1})}{f_{Y_{t+1} | Y_t}(x_{t+1} - \phi x_t | x_t - \phi x_{t-1})} \right\}. \end{split}$$

$$\frac{f_{X_{1},...,X_{n},W_{1},...,W_{n-1}|\nu,\beta,\phi}}{f_{X_{1},...,X_{n}|\nu,\beta,\phi}} = \frac{f_{X_{1},...,X_{n}|\nu,\beta,\phi}}{f_{Y_{t+1}|W_{t}}(x_{t+1}-\phi x_{t}|w_{t})f_{W_{t}|Y_{t}}(w_{t}|x_{t}-\phi x_{t-1})} \frac{f_{Y_{t+1}|W_{t}}(x_{t+1}-\phi x_{t}|w_{t})f_{W_{t}|Y_{t}}(w_{t}|x_{t}-\phi x_{t-1})}{\prod_{t=1}^{n-1} f_{Y_{t+1}|Y_{t}}(x_{t+1}-\phi x_{t}|x_{t}-\phi x_{t-1})}$$

•
$$f_{W_1,...,W_{n-1}|X_1,...,X_n,\nu,\beta,\phi} = \prod_{t=1}^{n-1} \left\{ \frac{f_{Y_{t+1}|W_t}(x_{t+1}-\phi x_t|w_t)f_{W_t|Y_t}(w_t|x_t-\phi x_{t-1})}{f_{Y_{t+1}|Y_t}(x_{t+1}-\phi x_t|x_t-\phi x_{t-1})} \right\}.$$

• Posteriormente se toma el logaritmo de la distribución final resultante y se procede a implementar los pasos E y M.

• A manera de resumen, lo que se hizo fue simular 2500 observaciones que siguen el proceso que estamos planteando, es decir, un modelo AR(1) para las observaciones $\{X_t\}_t$ con errores que siguen un proceso ARCH(1) como plantea el artículo de Pitt y Walker (2005).

- A manera de resumen, lo que se hizo fue simular 2500 observaciones que siguen el proceso que estamos planteando, es decir, un modelo AR(1) para las observaciones $\{X_t\}_t$ con errores que siguen un proceso ARCH(1) como plantea el artículo de Pitt y Walker (2005).
- Se ajustó el modelo estimando los parámetros vía el algoritmo EM. Para verificar la efectividad de predicción en el modelo, se realizaron 5 predicciones de la volatilidad de los datos y se compararon con las observaciones reales.

 Los verdaderos valores de los parámetros para los datos simulados fueron:

$$(\beta, \nu, \phi) = (2.5, 4.5, 0.95).$$

 Los verdaderos valores de los parámetros para los datos simulados fueron:

$$(\beta, \nu, \phi) = (2.5, 4.5, 0.95).$$

• Las estimaciones finales de los parámetros después de implementar el algoritmo EM fueron las siguientes:

$$(\hat{\beta}, \hat{\nu}, \hat{\phi}) = (2.5036478, 4.4077945, 0.9485942).$$

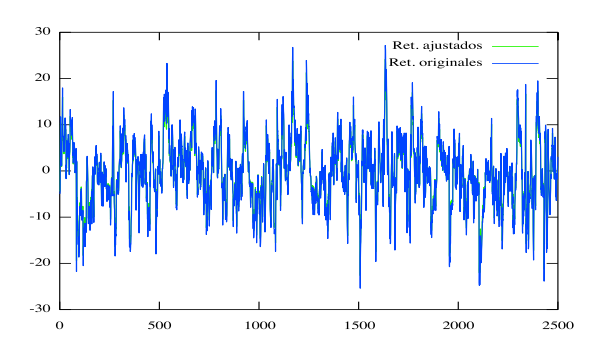


Figura: Datos estimados y originales.

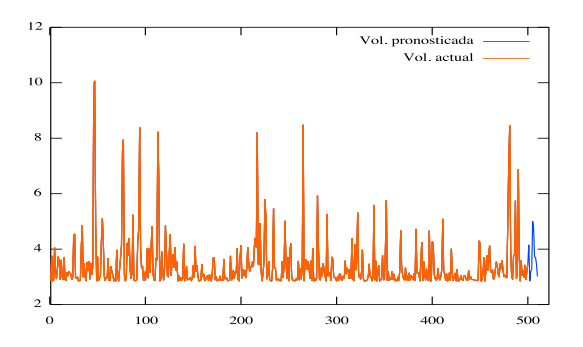
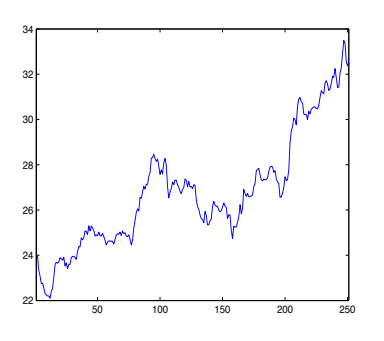


Figura: Volatilidad estimada y real.



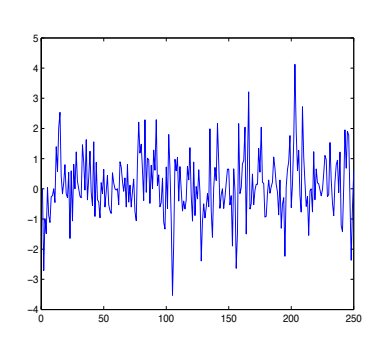


Figura: Precios y retornos de la acción de AT&T.



 Se modelaron los retornos históricos de la acción de AT&T Inc. Los datos son los precios diarios desde el 3 de octubre de 2005 hasta el 29 de septiembre de 2006 (251 datos).

- Se modelaron los retornos históricos de la acción de AT&T Inc. Los datos son los precios diarios desde el 3 de octubre de 2005 hasta el 29 de septiembre de 2006 (251 datos).
- Se ajustó la serie con el modelo propuesto y se comparó contra 3 modelos alternativos:

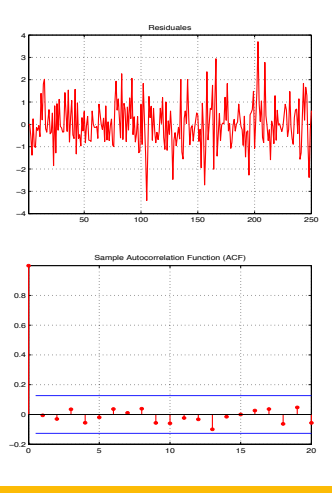
- Se modelaron los retornos históricos de la acción de AT&T Inc. Los datos son los precios diarios desde el 3 de octubre de 2005 hasta el 29 de septiembre de 2006 (251 datos).
- Se ajustó la serie con el modelo propuesto y se comparó contra 3 modelos alternativos:
- Un AR(1) con errores distribuidos $N(0, \sigma^2)$.

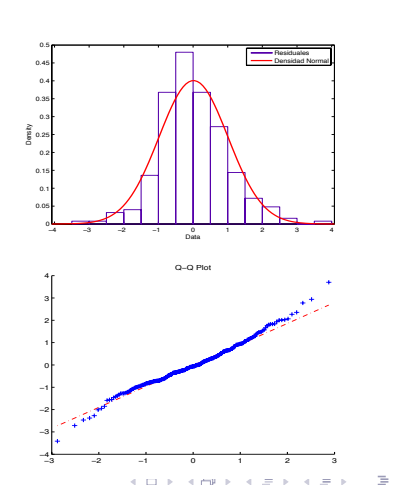
- Se modelaron los retornos históricos de la acción de AT&T Inc. Los datos son los precios diarios desde el 3 de octubre de 2005 hasta el 29 de septiembre de 2006 (251 datos).
- Se ajustó la serie con el modelo propuesto y se comparó contra 3 modelos alternativos:
- Un AR(1) con errores distribuidos $N(0, \sigma^2)$.
- Un MA(1)-ARCH(1) con errores distribuidos $St(0, 1, \nu)$.

- Se modelaron los retornos históricos de la acción de AT&T Inc. Los datos son los precios diarios desde el 3 de octubre de 2005 hasta el 29 de septiembre de 2006 (251 datos).
- Se ajustó la serie con el modelo propuesto y se comparó contra 3 modelos alternativos:
- Un AR(1) con errores distribuidos $N(0, \sigma^2)$.
- Un MA(1)-ARCH(1) con errores distribuidos $\mathcal{S}t(0,1,\nu)$.
- AR(1)-ARCH(1) con errores distribuidos $St(0, 1, \nu)$.

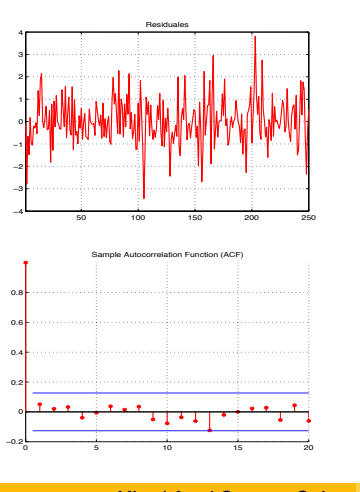
- Se modelaron los retornos históricos de la acción de AT&T Inc. Los datos son los precios diarios desde el 3 de octubre de 2005 hasta el 29 de septiembre de 2006 (251 datos).
- Se ajustó la serie con el modelo propuesto y se comparó contra 3 modelos alternativos:
- Un AR(1) con errores distribuidos $N(0, \sigma^2)$.
- Un MA(1)-ARCH(1) con errores distribuidos $\mathcal{S}t(0,1,\nu)$.
- AR(1)-ARCH(1) con errores distribuidos $St(0, 1, \nu)$.
- Se realizaron 20 predicciones junto con sus intervalos calculados al 95 % de confianza y se compararon con las observaciones verdaderas.

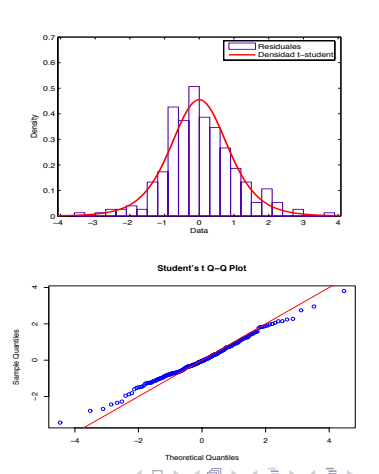
Residuales del modelo AR(1) ordinario.



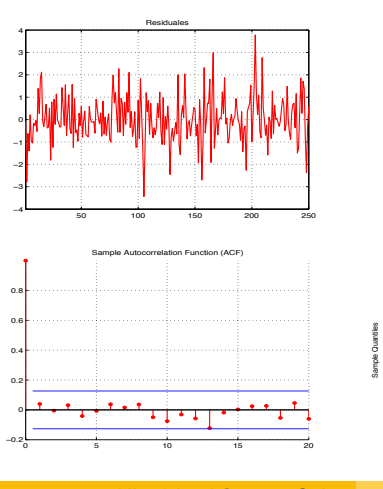


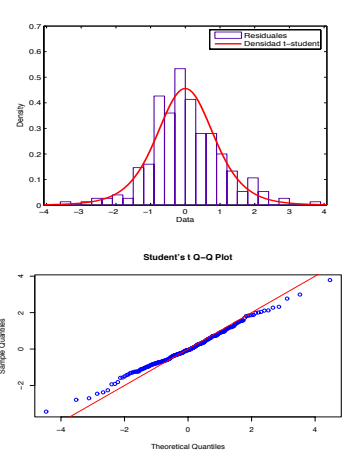
Residuales del modelo MA(1) - ARCH(1).



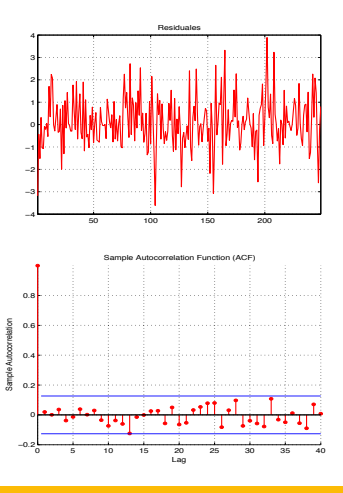


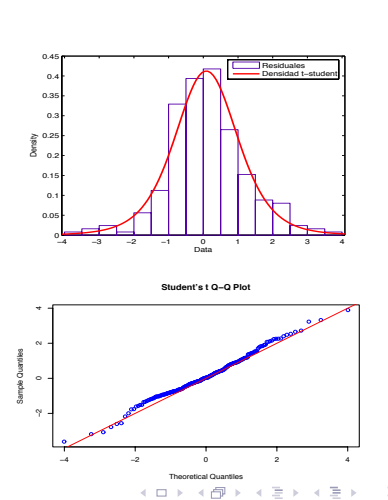
Residuales del modelo AR(1) - ARCH(1).





Residuales del modelo propuesto.





Los modelos MA(1)-ARCH(1), AR(1)-ARCH(1) y
 AR(1)-ARCH(1) (usando variables latentes) pasaron las
 pruebas de bondad de ajuste y de no-correlación, sin embargo
 en el modelo AR(1) se rechazó la prueba de *Jarque-Bera* para
 probar Normalidad con lo cual queda descartado.

- Los modelos MA(1)-ARCH(1), AR(1)-ARCH(1) y
 AR(1)-ARCH(1) (usando variables latentes) pasaron las
 pruebas de bondad de ajuste y de no-correlación, sin embargo
 en el modelo AR(1) se rechazó la prueba de *Jarque-Bera* para
 probar Normalidad con lo cual queda descartado.
- Los otros MA(1)-ARCH(1), AR(1)-ARCH(1) que no consideran variables latentes en su construcción, presentaron deficiencias como exceso de curtosis respecto a la distribución t-Student, en sus histogramas vemos que los residuales no se asemejan mucho a una distribución t-Student, etc.

• Nuestro modelo tiene errores con distribución marginal $\mathcal{S}t(0,\beta^2,\nu)$ mientras que los modelos del tipo MA-ARCH y AR-ARCH contra los que se comparó, consideran una distribución $\mathcal{S}t(0,1,\nu)$

- Nuestro modelo tiene errores con distribución marginal $\mathcal{S}t(0,\beta^2,\nu)$ mientras que los modelos del tipo MA-ARCH y AR-ARCH contra los que se comparó, consideran una distribución $\mathcal{S}t(0,1,\nu)$
- Debemos notar que nuestro modelo posee un parámetro extra, β, el cual es precisamente el resultado de incorporar un proceso latente en el modelo y nos da una distribución más general para el error, una t-Student reescalada.

• Para las predicciones se ajustaron 20 modelos sustrayendo la última observación en cada modelo por separado, es decir, para el primero se consideraron n-1 observaciones y se pronosticó la observación número n, para el segundo modelo se tomaron n-2 datos y se pronosticó la observación n-1 y así sucesivamente.

- Para las predicciones se ajustaron 20 modelos sustrayendo la última observación en cada modelo por separado, es decir, para el primero se consideraron n-1 observaciones y se pronosticó la observación número n, para el segundo modelo se tomaron n-2 datos y se pronosticó la observación n-1 y así sucesivamente.
- Se utilizó la ventaja de que los retornos $\{X_t\}_t$ sigue un proceso AR(1) para el cual la predicción para una observación futura x_{n+1} puede obtenerse mediante la ecuación

$$\hat{x}_{n+1} = \hat{\phi} x_n. \tag{6}$$



• El intervalo de confianza es análogo al intervalo de confianza para una predicción hecha mediante un modelo AR(1)

$$\hat{x}_{inf} = x_{pred} - \hat{\beta} \times \xi_{t_{\nu}}^{1-\alpha/2}, \ \hat{x}_{sup} = x_{pred} + \hat{\beta} \times \xi_{t_{\nu}}^{1-\alpha/2}, \ \ (7)$$

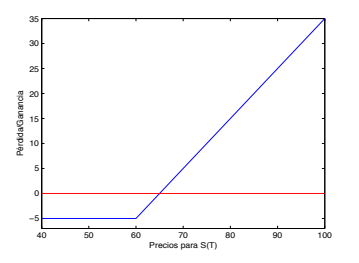
 El intervalo de confianza es análogo al intervalo de confianza para una predicción hecha mediante un modelo AR(1)

$$\hat{x}_{inf} = x_{pred} - \hat{\beta} \times \xi_{t_{\nu}}^{1-\alpha/2}, \ \hat{x}_{sup} = x_{pred} + \hat{\beta} \times \xi_{t_{\nu}}^{1-\alpha/2},$$
 (7)

 De los 20 intervalos de confianza para las predicciones, 19 contuvieron al verdadero valor, es decir el 95 % como se deseaba.

• Notemos nuevamente que el parámetro β fue el resultado de usar variables latentes en el modelo y como vimos, juega un papel importante en la construcción del intervalo de confianza para las predicciones ya que, en otro caso, al usar un modelo tradicional este parámetro es considerado como 1 y ésto posiblemente hubiera ocasionado que los intervalos calculados no contuvieran a los verdaderos valores en más casos de los esperados.

Valuación de opciones con volatilidad estocástica



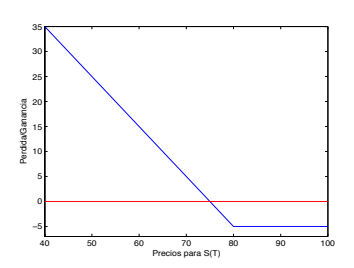


Figura: Diagramas de pérdidas y ganancias para una opción *call* (izquierda) y *put* (derecha).

Valuación de opciones con volatilidad estocástica

• Sean y_t y S_t la volatilidad y el precio de la acción al tiempo t respectivamente. Entonces dados los retornos x_n , x_{n-1} y el precio S_n se tiene que

$$y_n = x_n - \phi x_{n-1}.$$

• Sean y_t y S_t la volatilidad y el precio de la acción al tiempo t respectivamente. Entonces dados los retornos x_n , x_{n-1} y el precio S_n se tiene que

$$y_n = x_n - \phi x_{n-1}.$$

• Luego para $t = n + 1, \dots, \tau$

$$y_t | w_{t-1} \sim N(0, w_{t-1})$$

$$x_t = \hat{\phi} x_{t-1} + y_t$$

$$w_t|y_t \sim \mathcal{I}g((\hat{\nu}+1)/2, (x_t - \hat{\phi}x_{t-1})^2/2 + (\hat{\nu}\hat{\beta}^2/2))$$
 $S_t = S_{t-1}e^{x_t}.$

 $w_t|y_t \sim \mathcal{I}g((\hat{\nu}+1)/2, (x_t - \hat{\phi}x_{t-1})^2/2 + (\hat{\nu}\hat{\beta}^2/2))$

$$S_t = S_{t-1}e^{x_t}.$$

 El valor de la prima c para una opción call puede obtenerse mediante la expresión

$$c = \frac{1}{n} \sum_{i=1}^{n} \mathsf{máx}(S_{t,i} - K, 0),$$

y cada muestra $S_{t,i}$ es obtenida a través de simulación del proceso anterior.



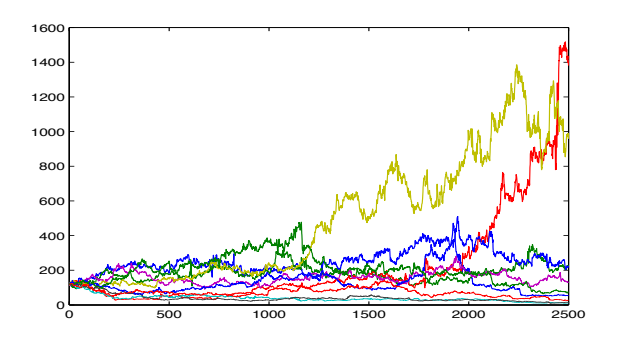


Figura: Simulación de 10 trayectorias de precios con retornos AR-ARCH.

Resultados comparativos

 Comparando el precio de una opción tipo call para la acción AT&T con respecto a otros modelos como son Black-Scholes y Árboles Binomiales se obtuvo lo siguiente:

$$PrecioCall_{BS} = 2.9615$$

$$PrecioCall_{AB} = 2.9798$$

$$PrecioCall_{Propuesto} = 2.9771$$

Resultados comparativos

 Comparando el precio de una opción tipo call para la acción AT&T con respecto a otros modelos como son Black-Scholes y Árboles Binomiales se obtuvo lo siguiente:

$$PrecioCall_{BS} = 2.9615$$

$$PrecioCall_{AB} = 2.9798$$

$$PrecioCall_{Propuesto} = 2.9771$$

Como vemos los 3 precios son consistentes.

 A lo largo de este trabajo hemos aprendido un ejemplo en donde se ilustra cómo la introducción de variables latentes permite definir la relación de dependencia estocástica en un modelo estadístico, en este caso una serie de tiempo del tipo AR(1)-ARCH(1), siendo ésta una de muchas aplicaciones que puede haber en la utilización de estas técnicas.

- A lo largo de este trabajo hemos aprendido un ejemplo en donde se ilustra cómo la introducción de variables latentes permite definir la relación de dependencia estocástica en un modelo estadístico, en este caso una serie de tiempo del tipo AR(1)-ARCH(1), siendo ésta una de muchas aplicaciones que puede haber en la utilización de estas técnicas.
- Además se ilustró el uso de una distribución marginal específica para un conjunto de observaciones en estudio, rompiendo con el esquema tradicional del uso excesivo de la distribución Normal para gobernar la estructura probabilística de los datos de interés.

• Como consecuencia de usar variables latentes para crear dependencia, nuestro modelo tiene errores con distribución marginal $\mathcal{S}t(0,\beta^2,\nu)$. Los modelos ARMA-GARCH tradicionales consideran una distribución $\mathcal{S}t(0,1,\nu)$, la cual resulta menos flexible y no alcanza a capturar características importantes presentes en los datos como son la asimetría, que es una característica representativa de los modelos ARCH y GARCH. Consideremos que esta es una ventaja de usar nuestro esquema.

 Ahora bien, pensemos que definiendo las distribuciones de transición apropiadas entre las observaciones y las variables latentes podemos especificar cualquier distribución de probabilidad, continua o discreta, como distribución marginal de nuestras observaciones.

- Ahora bien, pensemos que definiendo las distribuciones de transición apropiadas entre las observaciones y las variables latentes podemos especificar cualquier distribución de probabilidad, continua o discreta, como distribución marginal de nuestras observaciones.
- A su vez, es factible introducir 2 o más variables latentes en el modelo según convenga y permita definir completamente la relación de dependencia estocástica de las observaciones fijando una distribución marginal apropiada, además de preservar la estacionaridad de las observaciones. De esta manera, se podrían construir modelos de series de tiempo cada vez más complejos.



BERGER, J. O. y BERNARDO, J. M. (1992), On the development of reference priors. Bayesian Statistics 4 (J. M. Bernardo, J. O. Berger, D. V. Lindley and A. F. M. Smith, eds). Oxford: Oxford University Press, 35-60 (with discussion).



BERNARDO, J. M. y SMITH, A. F. M. (1994), Bayesian Theory. Chichester, U.K. Wiley.



BERNARDO, J. M. (1980), Bioestadística: Una Perspectiva Bayesiana. Valencia, España. Vicens-Vives.



BOLLERSLEV, T. (1986), A Conditionally Heteroskedastic Time Series Model for Speculative Prices and Rates of Return. Journal of Econometrics 31, 307-327.



BOLLERSLEV, T. (1987), Generalized Autoregressive Conditional Heteroskedasticity. The Review of Economics and Statistics, MIT Press, vol. 69(3), pages 542-47.



BROCKWELL, P. J. y DAVIS, R. A. (1987), *Time Series: Theory and Methods.* 2da Ed. Colorado, USA. Springer.



BROCKWELL, P. J. y DAVIS, R. A. (2002), *Introduction to Time Series and Forecasting*. 2da Ed. Colorado, USA. Springer.



CABALLERO, M. E., RIVERO, V. M., URIBE-BRAVO, G. y VELARDE, C. (2004), Cadenas de Markov. Un enfoque elemental. 1era Ed. México. Sociedad Matemática Mexicana.



CONTRERAS - CRISTÁN, A.(2008), Notas de Licenciatura del Curso: Series de Tiempo. Facultad de Ciencias, UNAM.





DEMPSTER, A.P., LAIRD, N. y RUBIN, D.B. (2003), Maximun likelihood from incomplete data via the EM algorithm. J. R. Statist. Soc. B. 39, 1-38.



ENGLE, R. (1982), Autoregressive Conditional Heteroscedasticity with Estimates of the Variance of United Kingdom Inflation. Econometrica. 1982. vol. 50. issue 4. pages 987-1007.



ENGLE, R. y GRANGER, C. (1987), Co-integration and Error Correction: Representation, Estimation, and Testing. Econometrica, 1987, vol. 55, issue 2, pages 251-76 7.



FAN, J. y YAO, Q. (2003), Nonlinear Time Series. Nonparametric and Parametric Methods. Nueva York. Springer.



GAMERMAN, D., (1997), Markov Chain Monte Carlo. Stochastic Simulation for Bayesian Inference.

Londres. Chapman & Hall.



GELMAN, A., CARLIN, J., STERN, H. y RUBIN, D. (1995), Bayesian Data Analysis. Londres. Chapman & Hall.



GLOSTEN, L. R., JAGANNATHAN, R. y RUNKLE, D.E. (1993), On the Relation Between the Expected Value and the Volatility of the Nominal Excess Return on stocks. Journal of Finance, 48, pp. 1,779-801.



GUTIÉRREZ-PEÑA, E., (1997), Métodos Computacionales en la Inferencia Bayesiana. 1era Ed., Vol. 6, No. 15. Instituto de Investigación en Matemáticas Aplicadas y Sistemas, UNAM.



HULL, J.C. y WHITE, A. (1987), The Pricing of Options on Assets With Stochastic Volatilities. 42, 281-300. Journal of Finance.



Hull, J.C. (2005), Options, Futures and Other Derivatives. 6ta Ed. Canadá. Prentice-Hall.



Kannan, D.(1979), An Introduction to Stochastic Processes. North Holland series in probability and applied mathematics.



MARTINEZ, W. L. y MARTINEZ, A. R (2002), Computational Statistics Handbook with MATLAB. USA. Chapman & Hall/CRC.



Nelson, D. B. (1991), Conditional heteroskedasticity in asset returns: A new approach. Econometrica 59: 347-370



PITT, M. K., CHATFIELD, C. y WALKER, S. G. (2002), Constructing First-Order Stationary Autoregressive Models via Latent Processes. 29, 657-663. Scandinava Journal of Statistics.



PITT, M. K. y WALKER, S. G. (2005), Constructing Stationary Time Series Models Using Auxiliary Variables With Applications. Vol. 100, No. 470, Theory and Methods. Journal of the American Statistical Association.



ROBERT, C. y CASELLA, G. (1999), Monte Carlo Statistical Methods. NY, USA. Springer.



SHUMWAY, R. H. y STOFFER, D. S. (2006), *Time Series Analysis and Its Applications With R Examples*. 2da Ed. USA. Springer.



STENTOFT L. (2004), *Pricing American Options when the Underlying Asset follows GARCH processes.*Dinamarca. School of Economics & Managment, University of Aarhus.





TANNER, M.A.(1996), Tools for Statistical Inference: Methods for the Exploration of Posterior Distributions and Likelihood Functions. 3rd ed. Springer, New York.



TSAY, R. S. (2002), Analysis of Financial Time Series. Financial Econometrics. Candá. Wiley & Sons.



WILMOTT, P. (2006), Paul Wilmott on Quantitative Finance. 2da Ed. Gran Bretaña. Wiley & Sons.



WÜRTZ, D., CHALABI, Y. y LUKSAN, L. (2006) Parameter Estimation of ARMA Models with GARCH/APARCH Errors. An R and SPlus Software Implementation. Volumen VV, artículo II. Journal of Statistical Software.

Fundamentos y motivación del uso de variables latentes Series de tiempo vía variables latentes Construcción del modelo AR-ARCH Aplicaciones del modelo Conclusiones

Gracias por su atención.